

多主析橋における鉄筋コンクリート床版の
ひび割れモーメントについて

北海道大学 学。三上 哲

正 高田 宣之

正 藤田 嘉夫

1. まえがき

実際のコンクリート構造物における応力状態は、単純応力状態にある事は少なく立体的な組合せ応力状態となつてゐる場合が多い。従つてコンクリート構造物の設計には、組合せ応力下におけるコンクリートの強度及び変形を考慮する事が合理的であり、かつ安全性の面においても必要な事であると考へられる。コンクリート多主析橋における床版には、橋軸方向に曲げ圧縮応力、幅員方向には曲げ圧縮-引張り応力が作用し、更に主析の荷重分配によるねじり応力を作用している。ここでは配筋鉄筋方向の応力をねじり応力を無視して、軸による曲げ圧縮応力を幅員方向の曲げ引張応力の2軸応力場における床版のひび割れモーメントの算定式を導くものであり又、実橋における床版のひび割れ発生の有無を検討するものである。

2. ひび割れモーメントの算定式の誘導

Fig-1.aのように多主析橋の主析のエレメントを取り出し、床版の応力状態を Fig-1.b のように考へた。この断面を取り出すと Fig-2.a の様であり、この上面におけるひび割れモーメントの算定式を誘導した。ここでは Fig-3.b に示すように圧縮-引張の組合せ応力状態のひびき形状は、 $\Omega_c < \frac{1}{3} \Omega_{cb}$ 以下では直線と仮定できるので Fig-2.b に示すように床版の圧縮-引張群応力に対する直線と相似な形の三角形分布とした。コンクリートに働く C_c , T_c 及び鉄筋に働く C_s , T_s を中立軸の間の距離を図示するように表わすとする。

$$(1) \quad C_c = 0.5 \cdot R \cdot \Omega_c, \quad C_s = (R - \Omega_c) n A_s \cdot \Omega_c / R, \quad T_c = 0.5 (1 - R) n A_s \cdot \Omega_c, \quad T_s = P \cdot R \cdot \Omega_s \\ y_c' = \frac{2}{3} R \cdot h, \quad y_s' = (R - \Omega_c) h, \quad y_c = \frac{2}{3} (1 - R) h, \quad y_s = (1 - R - \Omega_c) h$$

となる。又下線圧縮応力度 Ω_c 及び鉄筋応力度 Ω_s は

$$(2) \quad \Omega_c = E_c \cdot \epsilon_c = E_c \cdot \epsilon_a \cdot R / (1 - R), \quad \Omega_s = E_s \cdot \epsilon_s = E_s \cdot \epsilon_a \cdot (1 - R - \Omega_c) / (1 - R)$$

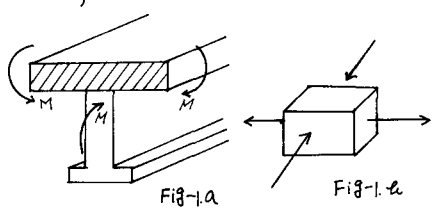
$$(3) \quad \text{平衡方程式は} \quad C_c + C_s = T_c + T_s \quad (1)(2)(3) \text{式から中立軸の位置は(4)式で求められる。}$$

$$(4) \quad R = -\frac{B}{2A} + \sqrt{\left(\frac{B}{2A}\right)^2 + \frac{C}{A}} \quad A = 0.5 - 0.5 \Omega_c / E_c \cdot \epsilon_a, \quad B = nP + nP' + \Omega_c^2 / E_c \cdot \epsilon_a \\ C = nP(1 - R) + n\Omega_c P' + 0.5 \Omega_c^2 / E_c \cdot \epsilon_a$$

$$(5) \quad \text{ひび割れモーメントは, } M_{cr} = C_c \cdot y_c + C_s y_s' + T_c y_c + T_s y_s \quad (6) \quad M_s = M_{cr} / \theta R^2 \text{ とすると}$$

$$(6) \quad M_s = \frac{M_{cr}}{\theta R^2} = \frac{E_c \cdot \epsilon_a}{1 - R} \left\{ \frac{R^3}{3} + (R - \Omega_c)^2 n P' + (1 - R - \Omega_c)^2 n P \right\} + \frac{1}{3} (1 - R)^2 \Omega_c^2$$

が導かれた。引張-圧縮の2軸応力状態のフレンコノワ
リートの強度は単純圧縮強度を Ω_{cb} 、引張り強度を Ω_{tb} とし、
破壊時圧縮応力を Ω_c 、引張り応力を Ω_s とすると、Smith⁽¹⁾ の
ような2次式関係があるが、ここでは西洋及び本実験で求めら
れた Fig-3.a に示すような直線関係を用いた。

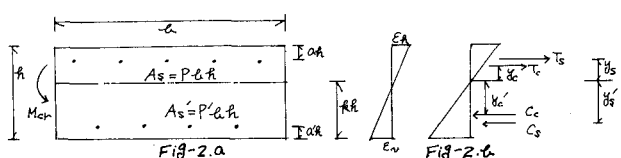


$$(7) \quad \Omega_c / \Omega_{cb} + \Omega_s / \Omega_{tb} = 1$$

引張り方向終局ひびきについて、本実験より

$$(8) \quad \epsilon_a / \epsilon_{ta} = d \cdot \Omega_c / \Omega_{tb} = d (1 - \Omega_c / \Omega_{cb})$$

d は圧縮応力によるボアソン比の影響係数



ここで(4)式に、圧縮-引張り应力下のプレーンコンクリートの弾性性状、式(7)(8)を代入すると

$$(9) R = -\frac{B'}{2A'} + \sqrt{\left(\frac{B'}{2A'}\right)^2 + \frac{C'}{A'}}$$

$$A' = 0.5 - 0.5 \frac{E_c}{E_{ao} \cdot d} \frac{O_{tB}}{E_{ao} \cdot d}$$

$$B' = nP + nP' + \frac{1}{E_c} \frac{O_{tB}}{E_{ao} \cdot d}$$

$$C' = nPC_1 \cdot a + nP'a' + 0.5 \frac{E_c}{E_{ao} \cdot d} \frac{O_{tB}}{E_{ao} \cdot d}$$

$$(10) M_s = \frac{M_{cr}}{E_c R^2 E_R} = \frac{E_c}{1-R} \left\{ \frac{R^3}{Z} + (R-a')^2 AP' + C(1-R-a)^2 AP \right\} + \frac{1}{3} (1-R)^2 \frac{O_{tB}}{E_{ao} \cdot d}$$

$$(11) M_s = \overline{M_s} E_R = \overline{M_s} E_{ao} \alpha (1 - \frac{O_t}{O_{tB}}) = \overline{M_s} E_{ao} \alpha \frac{O_t}{O_{tB}}$$

従って(11)式からひび割れモーメント M_{cr} がそのコンクリートの引張应力比、ひび割れ断面形状から求まる事になった。ここで O_t が大きくなると Fig-3. a の様にひびは変化すると考えられるが、ひびが小なる場合には 1 を近似できるとする。次に一例として $a = a' = 0.15$, $E_c = 3 \times 10^5 \text{ kg/cm}^2$, $O_{tB} = 30 \text{ kg/cm}^2$, $O_{tB} = 300 \text{ kg/cm}^2$, $E_{ao} = 160 \times 10^{-6}$, $n=7$ における P と M_s の関係を Fig-4 に示す。

3. 実橋における床版のひび割れモーメントの算定

ここでは実際に架設されているRC単純T形橋梁及び一般の橋梁における床版の最大曲げモーメントを計算し、前節における床版のひび割れモーメントの算定式から得られる M_{cr} と比較して、ひび割れ発生の有無を検討した。

ここで実橋の床版の最大曲げモーメントの計算は、各主筋のねじりによる変形を考慮した格子桁法に基づくものであり、一般の橋梁における床版の最大曲げモーメントは道路橋示方書に基くものである。各橋断面諸元及び最大曲げモーメントは

表1. 実橋における M_{cr} の計算に次の値を用いた

表-1

橋名	主筋本数	床版厚	支間	主筋间距	幅員	最大曲げモーメント
幕別橋	3	16.0 cm	28.5 m	240 cm	170 m	2254 kg.m
下記念別橋	3	20.0	14.35	235	6.4	1202 kg.m
一般の橋梁	4	23.0	80.0	280	9.5	2633 kg.m

$P=0.034$, $P'=0.017$, $O_t/O_{tB}=0.3$, $a=a'=0.15$

$E_c = 3 \times 10^5 \text{ kg/cm}^2$, $n=7$, $O_{tB} = 30 \text{ kg/cm}^2$, $O_{tB} = 300 \text{ kg/cm}^2$

$E_{ao} = 160 \times 10^{-6}$

$$M_s = M_{cr}/aR^2 = 8758 \text{ kg/cm}^2 \text{ となり}, a \text{ を床版の有効幅}, d \text{ を床版の厚さ} \text{ に} \text{ て} \text{ お} \text{ そ} \text{ そ} \text{ 単位長さ} \text{ 当} \text{ たり}$$

幕別橋

$$M_{cr} = 2242 \text{ kg.m} < 2254 \text{ kg.m}$$

下記念別橋

$M_{cr} = 3503 \text{ kg.m} > 1202 \text{ kg.m}$ となり幕別橋ではひび割れ有、下記念別橋ではひび割れ無と推定された。

次に一般の橋梁において $ad=a'd=3 \text{ cm}$, $O_t/O_{tB}=70/300$, $E_c = 3 \times 10^5 \text{ kg/cm}^2$, $E_{ao} = 160 \times 10^{-6}$, $O_{tB} = 30 \text{ kg/cm}^2$ とした時の床版厚及び鉄筋比と M_{cr} の関係を Fig-5 に示す。Fig-5 から床版厚及び鉄筋比が M_{cr} に与える影響が極めて大きいものと考えられる。

4. 結論

1)コンクリート床版は橋軸方向に曲げ正縮应力、幅員方向には版による曲げ引張り应力が作用する二軸应力場になつてている。この床版のひび割れモーメントを圧縮-引張り荷重下のプレーンコンクリートの强度及び変形に基づいて解析した。

2)橋梁の床版におけるひび割れ発生には断面諸元及び断面形状が影響するが特に床版厚及び鉄筋比の影響が大きいことが認められた。

5. 参考文献

(1) G.M.Smith "Failure of concrete under Combined Tensile and Compressive stresses"

(2) 亞次配筋(引張り)と圧縮との組合せ荷重を受けたコンクリートの強度、日本土木学会年報

(3) 藤田・佐伯・高田・奈良 「鉄筋コンクリート多主筋橋の変形及び破壊特性」、土木学会北海道支部 (5.50)

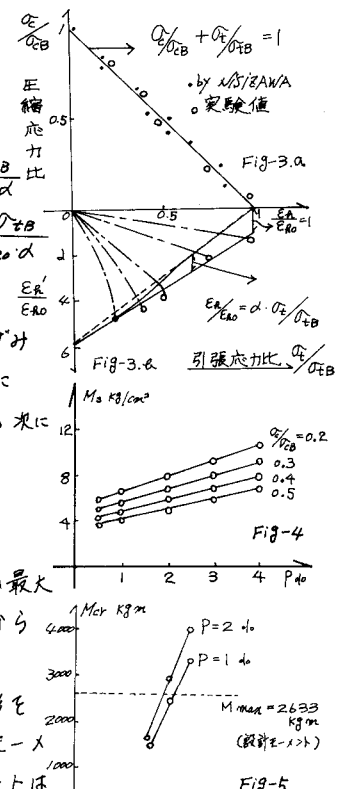


Fig-3

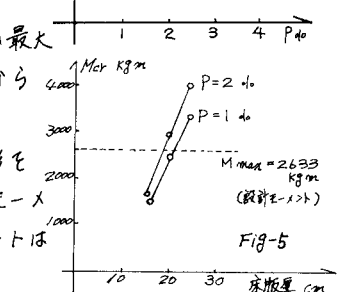


Fig-5